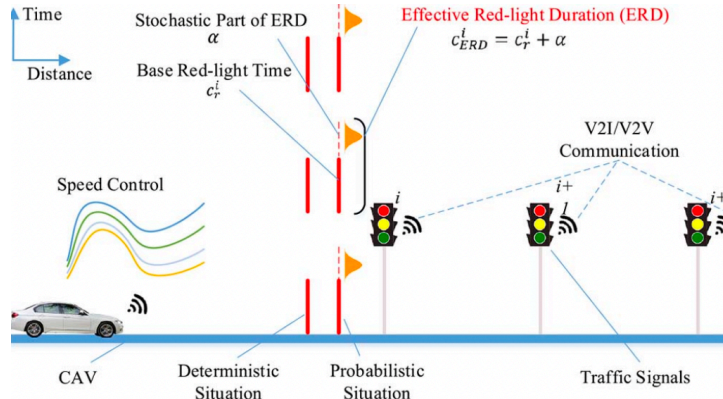


# Optimal eco-driving control of connected and autonomous vehicles through signalized intersections

## Problem setting

本文研究在红绿灯和车辆间能够相互通信的情况下，如何控制车的速度同时实现节省能源和保证安全。如下图所示，作者考虑了多种交通灯的情况：包括（1）base red light time已知，且没有ERD（Effective Red light Duration），（2）base red light time已知，且知道ERD的分布，（3）base red light time已知，且未知ERD的分布，（4）base red light time已知，且未知ERD的分布，但是可以估计等待队列的长度。对于（3）和（4）作者提出了一种DATA-DRIVEN CHANCE CONSTRAINTS的方法来解决分布未知的问题。



## Vehicle and Traffic Signal Modeling

作者对车辆模型和红绿灯模型进行了建模

### Vehicle model

其中车辆动态模型为：

$$ma = \frac{r_{gb}T_{eng} - T_{brk}}{R_{whl}} - mg(\cos(\theta)C_r - \sin(\theta)) - \frac{1}{2}\rho AC_d v^2$$

$$C_r = C_{r1} + C_{r2}v$$

$m$ 为车辆质量， $a$ 为车辆加速度， $r_{gb}$ 为齿轮箱数值与drive ratio的乘积， $T_{eng}$ 为输出扭矩， $T_{brk}$ 为制动扭矩， $g$ 为引力常数， $\theta$ 为路的角度， $\rho$ 为空气密度， $C_r$ 为阻力系数， $A$ 为截面宽度。

纵向速度为：

$$v = \frac{\omega_{eng}}{r_{gb}}$$

其中 $\omega_{eng}$ 为轮子的转速。

fuel consumption可以抽象为一个非线性函数：

$$\dot{m}_{fuel} = \psi(T_{eng}, \omega_{eng})$$

综合传动比可以表达为gear number的非线性函数。

$$r_{gb} = f(N_{gb}) \cdot r_{fd}, \quad N_{gb} \in \{1, 2, 3, 4, 5, 6\}$$

## traffic light model

首先对于固定的交通信号灯，红灯的持续时间为：

$$c_r^i \in [0, c_f^i]$$

其中车辆离开红绿灯的时间可以建模为：

$$c_p^i = (c_0^i + t_p^i) \bmod c_f^i$$

其中 $t_p^i$ 为在第 $i$ 辆的time domain中，其通过交叉路口的时间。

对于第二种情况，对于feasible passing time不确定的情况，作者定义了ERD，其可以表示为：

$$c_{\text{ERD}}^i = c_r^i + \alpha^i$$

其中 $\alpha_i$ 可以表示为一个分布： $\alpha^i \in [0, (c_f^i - c_r^i)]$

## Robust Optimal Eco-Driving

作者定义了目标函数，前者为能源消耗，后者为通行时间

$$J = \int_0^{s_f} \left( \lambda \left| \frac{\dot{m}_{\text{fuel}}(s)}{v(s)} \right| + (1 - \lambda) \left| \frac{d}{ds} t(s) \right| \right) ds = \lambda \cdot |m_{\text{fuel}}(s_f)| + (1 - \lambda) \cdot |t(s_f)|$$

控制输入 $u$ 由三项组成

$$u = [T_{\text{eng}}(s), T_{\text{brk}}(s), N_{\text{gb}}(s)]^T$$

状态分别是车辆的速度和通行时间：

$$x = [v(s), t(s)]^T$$
$$\frac{dv}{ds}(s) = \frac{a(s)}{v(s)}, \quad \frac{dt}{ds}(s) = \frac{1}{v(s)}$$

约束方程包括车辆的和信号灯的：

$$\begin{aligned} T_{\text{eng}}^{\min} &\leq T_{\text{eng}}(s) \leq T_{\text{eng}}^{\max} & \forall s \in [0, s_f] \\ T_{\text{brk}}^{\min} &\leq T_{\text{brk}}(s) \leq T_{\text{brk}}^{\max} & \forall s \in [0, s_f] \\ N_{\text{gb}}(s) &\in \{1, 2, 3, 4, 5, 6\} & \forall s \in [0, s_f] \\ v(0) &= v(s_f) = v^{\min}(s) \\ a^{\min} &\leq a(s) \leq a^{\max} & \forall s \in [0, s_f] \\ v^{\min}(s) &\leq v(s) \leq v^{\max}(s) & \forall s \in [0, s_f] \\ t(s_f) &\leq t_f. \end{aligned}$$

对于四种不同的信号灯情况，作者分别进行了建模：

若是固定的信号灯时间，则通行时间只需大于固定参数即可

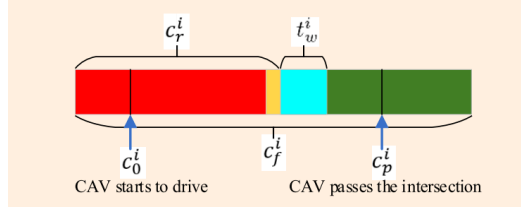
$$c_p^i \geq c_r^i$$

若是信号灯时间不固定，但是知道额外增加的时间的分布，则通过时间只需通过risk level  $\eta$ 推测出额外的时间即可。

$$\begin{aligned}
c_p^i &\geq c_{\text{ERD}}^i = c_r^i + \alpha^i \quad \forall \alpha^i \in [0, (c_f^i - c_r^i)] \\
\Pr(c_p^i &\geq c_r^i + \alpha^i) \geq 1 - \eta \quad \forall \eta \in [0, 1] \\
\Pr(\alpha^i &\leq c_p^i - c_r^i) = F(c_p^i - c_r^i) \geq 1 - \eta \quad \forall \eta \in [0, 1] \\
c_p^i &\geq c_r^i + F^{-1}(1 - \eta) \quad \forall \eta \in [0, 1]
\end{aligned}$$

对于未知分布的情况，作者提出了DATA-DRIVEN CHANCE CONSTRAINTS来求解，将在后面详细说明。

对于未知分布但是可以预测等待队列长度 $s_w^i$ 和等待时间 $t_w^i$ 的情况，如图所示：



则可以列出式子：

$$c_p^i \geq c_r^i + F^{-1}(1 - \eta) + t_w^i \quad \forall \eta \in [0, 1]$$

作者使用动态规划方法对目标函数进行求解，离散得cost函数可以表示为：

$$J = \sum_{k=0}^{N-1} g_k(x_k, u_k) + g_N(x_N)$$

最优的控制和状态可以表示为：

$$\begin{aligned}
U^* &= [u_0^*, u_1^*, u_2^*, \dots, u_{N-1}^*]^T \\
X^* &= [x_0^*, x_1^*, x_2^*, \dots, x_N^*]^T
\end{aligned}$$

则最优的控制输入可以从N-1倒推至0:

$$u_k^* = \arg \min_{u_k \in \mathcal{U}_D} \{g_k(x_k, u_k) + V_{k+1}(f(x_k, u_k))\}$$

## Data-Driven Chance Constraints

由于最优控制的计算对于分布非常敏感，作者将分布约束重新定义为：

$$\inf_{\mathbb{P} \in \mathcal{D}} \mathbb{P}\{\alpha^i \leq c_p^i - c_r^i\} \geq 1 - \eta \quad \forall \eta \in [0, 1]$$

其中 $\mathbb{P}$ 为累积概率分布， $\mathcal{D}$ 为根据先验数据得到的可信分布集合， $i$ 为交叉路口的标号。

使用散度来确定分布间的距离（即相似度）

$$D_\phi(f^* \parallel \hat{f}) = \int_{\Omega} \phi\left(\frac{f^*(\alpha)}{\hat{f}(\alpha)}\right) \hat{f}(\alpha) d\alpha$$

散度公式可以为：

$$\begin{aligned}\phi_{\text{KL}}(x) &= x \log x - x + 1 \quad \forall x \in [0, +\infty) \\ \phi_{\text{VD}}(x) &= |x - 1| \quad \forall x \in [0, +\infty) \\ \phi_{\chi^2}(x) &= (x - 1)^2 \quad \forall x \in [0, +\infty).\end{aligned}$$

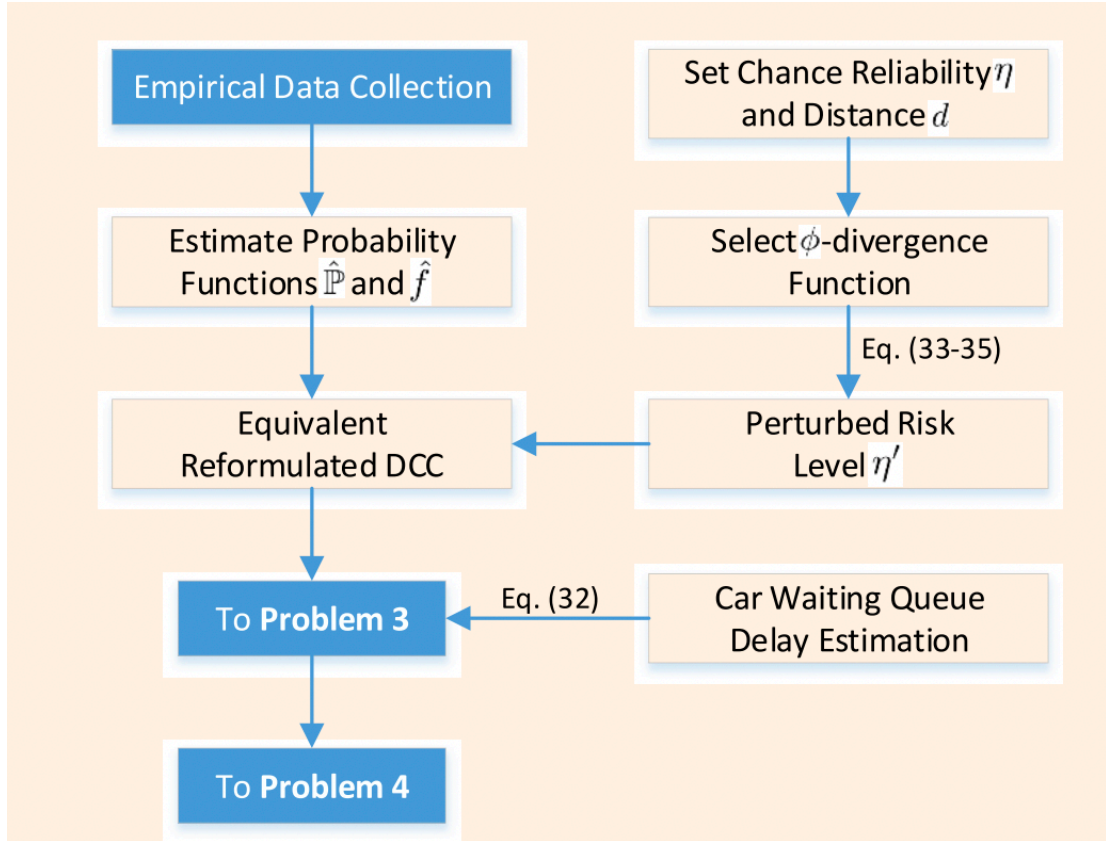
预测的累积分布可以表示为：

$$\hat{\mathbb{P}} \{ \alpha \leq c_p^i - c_r^i \} \geq 1 - \eta'_+$$

其中  $\eta'_+ = \max \{ \eta', 0 \}$ ，其表示  $\eta'$  是用原始risk level和散度距离来表示。

$$\begin{aligned}\eta'_{\text{VD}} &= \eta - \frac{d}{2} \\ \eta'_{\chi^2} &= \eta - \frac{\sqrt{d^2 + 4d(\eta - \eta^2) - (1 - 2\eta)d}}{2d + 2} \\ \eta'_{\text{KL}} &= 1 - \inf_{x \in (0,1)} \left\{ \frac{e^{-d} x^{1-\eta} - 1}{x - 1} \right\}\end{aligned}$$

整体的工作流程图如下所示：

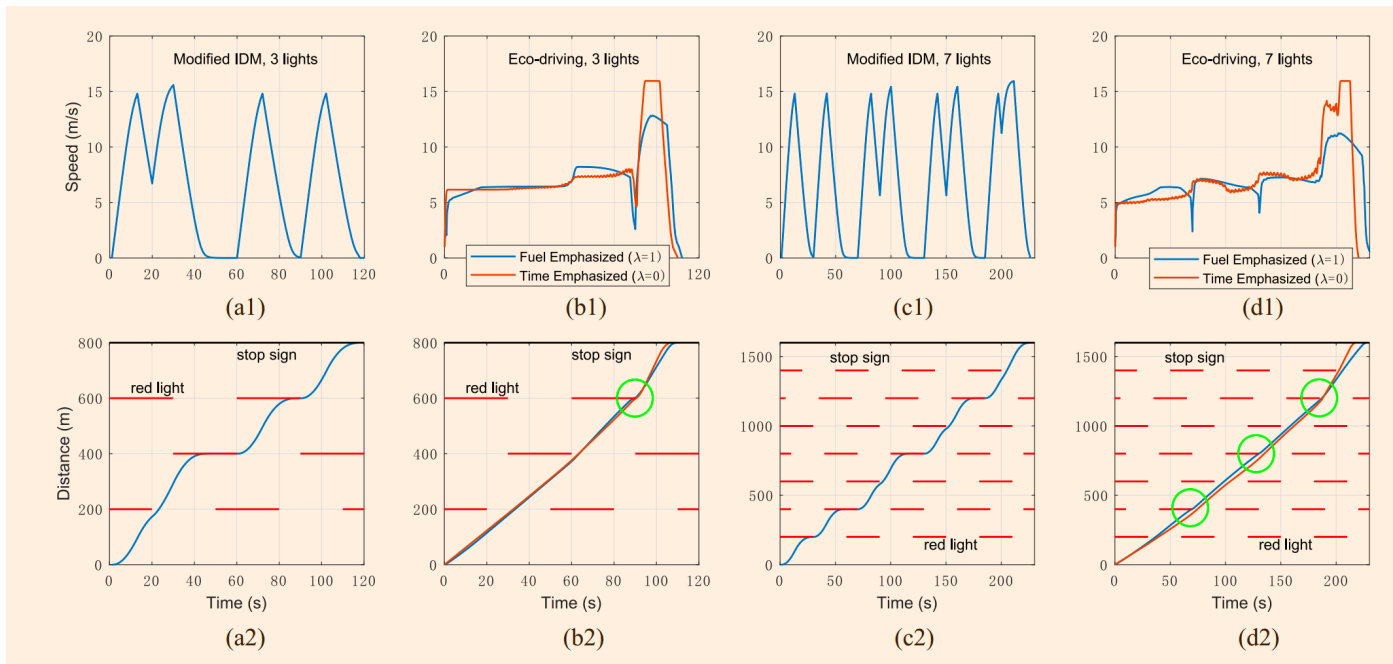


## Simulation and Experiment

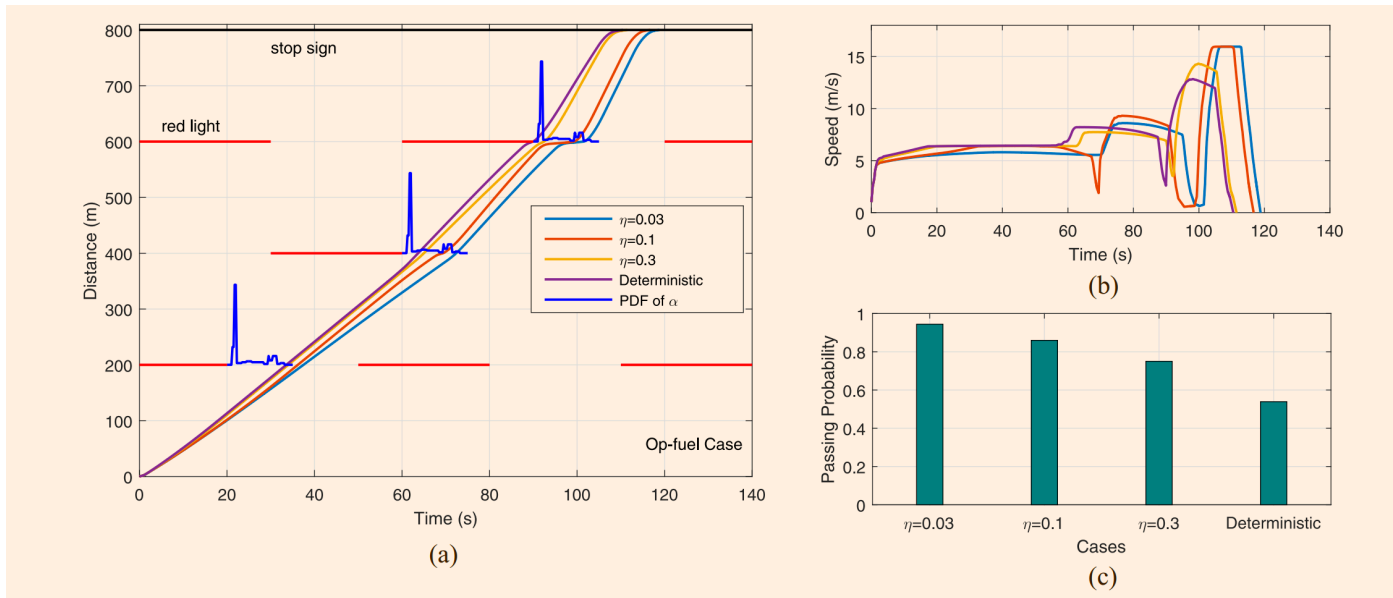
对于第一个problem，使用deterministic control，对于第二个problem，使用robust control，对于第三个problem，使用data-driven chanceconstrained robust control。

对比的baseline model采用modified IDM。

对于deterministic control，仿真实验结果如图



对于不同的 $\eta$ , problem3的结果如图。



对于probelm4, 加入waiting queue以后, 结果如图。

